

С. Д. БРОНЗА, В. Г. ТАИРОВА

КОНСТРУИРОВАНИЕ РИМАНОВЫХ ПОВЕРХНОСТЕЙ
КЛАССА F_g^* . 2

3. Классы римановых поверхностей заданной разветвленности. Теорема единственности в классе Драпе. Следуя обозначениям, принятым в [1, с. 469], обозначим через $F_\rho(t) = F_\rho(t; a_1, \lambda_1^1, \dots, \lambda_1^{m_1}; \dots, a_q, \lambda_q^1, \dots, \lambda_q^{m_q})$ класс замкнутых t -листных римановых поверхностей рода ρ с базисными точками a_1, a_2, \dots, a_q , причем в базисную точку a_i , $i = 1, \dots, q$, проектируется m_i точек ветвления, имеющих порядки $\lambda_i^1, \lambda_i^2, \dots, \lambda_i^{m_i}$, $\sum_{j=1}^{m_i} \lambda_i^j \leq t - m_i$, а род ρ

определяется из соотношения Римана — Гурвица $\sum_{i=1}^q \sum_{j=1}^{m_i} \lambda_i^j = 2(t - 1) + 2\rho$. Этот класс назовем классом римановых поверхностей заданной разветвленности. Выделим класс римановых поверхностей, обладающих свойством: в каждую базисную точку проектируется одна точка ветвления, т. е. класс $F_\rho(t; a_1, \lambda_1^1; a_2, \lambda_2^1; \dots; a_q, \lambda_q^1)$, и назовем его классом Драпе, кратко обозначая символом $D_\rho(t)$. Для обозначения класса Драпе, римановы поверхности которого имеют точки ветвления только первого порядка, будем употреблять символ $D_\rho(t, 1)$.

В работе [2] доказана теорема Драпе, утверждающая, что класс $D_0(t)$ обладает свойством единственности, т. е. содержит одну риманову поверхность. Драпе [3] дала ошибочное доказательство этого утверждения. В общем случае класс римановых поверхностей заданной разветвленности $F_0(t)$ свойством единственности не обладает. Он может содержать не одну риманову поверхность [2] или оказаться пустым [5, с. 468].

В классе Драпе $D_\rho(t)$ при $\rho > 0$ свойство единственности уже не имеет места*, однако оно сохраняется в $D_\rho(t, 1)$, т. е. имеет место следующая теорема типа Драпе.

* На рис. 1 изображены профили Π' и Π'' римановых поверхностей из класса $F_4(3; a_12; a_22; a_32; a_42; a_52; a_62)$. Нетрудно видеть, что любая суперпозиция обменов сохраняет равенство подстановок всех атомарных псевдопрофи-

Теорема Д. Класс $D_\rho(t, 1) = F_\rho(t; a_1, 1; \dots, a_q; 1)$ состоит из одной римановой поверхности.

Введем следующие обозначения. Через $F_\rho(t) = F_\rho(t; a_1 \lambda_1^1, \dots, a_1 \lambda_1^{m_1}; \dots; a_q, \lambda_q^1, \dots, \lambda_q^{m_q})$ обозначим совокупность профилей римановых поверхностей из класса римановых поверхностей заданной разветвленности $F_\rho(t) = F_\rho(t; a_1, \lambda_1^1, \dots, \lambda_1^{m_1}, \dots; a_q, \lambda_q^1, \dots, \lambda_q^{m_q})$. Эту совокупность профилей будем называть классом профилей заданной разветвленности. Совокупность профилей римановых поверхностей из класса Драпе $D_\rho(t) (D_\rho(t, 1))$ будем обозначать через $D_\rho(t) (D_\rho(t, 1))$, называя ее классом профилей Драпе. Очевидно, сформулированная выше теорема Д равносильна утверждению: класс профилей $D_\rho(t, 1)$ состоит из одного класса эквивалентности профилей.

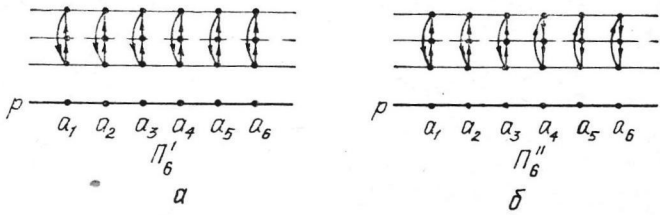


Рис. 1

При доказательстве теоремы Д нами неоднократно будет использоваться

Лемма. Любой профиль $\Pi = \text{clos} \sum_{i=1}^q G_i^{i**}$ из класса $D_\rho(t, 1)$ преобразованиями из группы $\langle \tau \rangle$ может быть преобразован в профиль $'\Pi = \text{clos} \sum_{i=1}^q G_i^i$, такой, что $S('G_1^1) = S('G_1^2) = S(G_1^1)$.

Действительно, пусть $S(G_1^1) = (i, l)$, $1 \leq i < l \leq t$. Очевидно, найдется k , $1 \leq k \leq q$, такое, что псевдопрофиль G_1^k обладает свойством: в i -й путь профиля Π входит слабая дуга (не петля) G_1^k , в то время как в i -й путь входят лишь петли псевдопрофилей G_i^F при $P > k$. (При $k = q$, очевидно, псевдопрофили G_1^l вовсе не появятся).

Рассмотрим преобразование

$$r_i = \prod_{j=1}^{k-2} \tau_{k-j}^o,$$

лей профиля Π' , в то время как профиль Π'' содержит атомарные псевдопрофили с различными подстановками. Это свидетельствует о том, что профили Π' и Π'' изображают различные римановы поверхности из класса $F_4(3; a_1 2; a_2 2; a_3 2; a_3 2; a_4 2; a_5 2; a_6 2)$.

** Наряду с символом \bar{G} употребляем символ $\text{clos } G$.

где $\tau_{k-j}^\sigma = \tau_{k-j}^{-1}$, если в i -й путь профиля Π входит слабая дуга (не петля) псевдопрофиля G_1^{k-j} и $\tau_{k-j}^\sigma = \tau_{k-j}$, если в i -й путь профиля Π входит петля псевдопрофиля G_1^{k-n*} . Нетрудно видеть, что последовательное применение преобразований группы $\langle \tau \rangle$, входящих в r_i , удерживает одну из вершин слабого контура псевдопрофиля G_1^k на i -м сильном контуре, а вторую — на i -м пути профиля Π . В результате чего слабый контур псевдопрофиля G_1^k профиля $\Pi = r_i \Pi$, одна из вершин которого принадлежит i -му сильному контуру, а вторая — i -му пути профиля Π , при этом слабый контур псевдопрофиля G_1^k преобразованием r_i не затрагивается. Таким образом, получаем $'G_1 = G_1^1, S('G_1^2) = S(G_1)$, что и утверждает лемма. Рис. 2 иллюстрирует преобразование r_2 .

Замечание. Не уменьшая общности, можно считать, что $S(G_1^1) = (1, l)$, где l — некоторое число, $1 < l \leq t$. Действительно, в силу связности профиля, найдется атомарный псевдопрофиль G_1^k профиля Π такой, что $S(G_1^k) = (1, l')$, $1 < l' \leq t$, но тогда профиль $(\prod_{j=1}^{k-1} \tau_{k-j}) \Pi$ уже такой, что подстановка его первого атомарного псевдопрофиля есть транспозиция, содержащая единицу.

Доказательство теоремы Д.

1. Покажем, что любой профиль $\Pi_q = \text{clos} \sum_{i=1}^q G_1^i$ из класса $D_\rho(t, 1)$ преобразованиями из группы $\langle \tau \rangle$ может быть приведен к профилю $'\Pi_q = \text{clos} \sum_{i=1}^q 'G_1^i$ из того же класса, атомарные псевдопрофили которого удовлетворяют условиям:

$$1^\circ. S('G_1^{2m-1}) = S('G_1^{2m}), m = 1, \dots, q/2^{**}).$$

2°. Подстановки всех атомарных псевдопрофилей профиля $'\Pi_q$ являются транспозициями, содержащими единицу.

Применим к профилю Π_q лемму. В результате получим профиль, первые два атомарные псевдопрофили которого удовлетворяют условиям 1° и 2°. Будем считать, что исходный профиль именно такой и $S(G_1^1) = S(G_1^2) = (1, l_1)$.

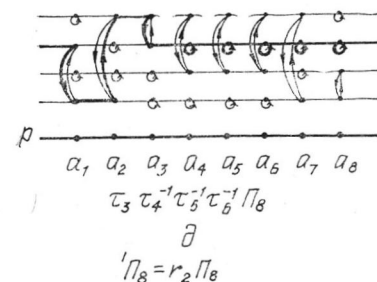
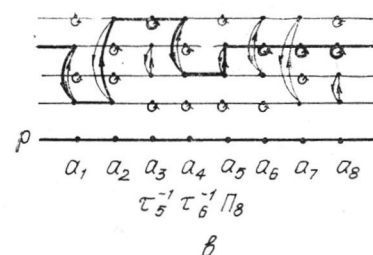
Рассмотрим псевдопрофиль $G_{q-2} = \sum_{i=3}^q G_1^i$. Легко видеть, что псевдопрофиль G_{q-2} имеет тождественную подстановку. Действи-

* В дальнейшем преобразование r_i будем называть движением слабого контура псевдопрофиля G_1^k по i -му пути профиля Π , или просто — движением r_i .

** Из условия $\Pi_q \in D_\rho(t, 1)$ согласно формуле Римана — Гурвица получаем, что q — четное.

тельно, $S(G_{q-2}) = S\left(\sum_{i=3}^q G_1^i\right) = \prod_{i=3}^q S(G_1^i) = S(G_1^1)S^{-1}(G_1^1)$; $\prod_{i=3}^q S(G_1^i) = S(G_1^1)S(G_1^2)\prod S(G_1^i) = E$, где E — тождественная подстановка.

Псевдопрофиль G_{q-2} может оказаться и не связным, но тогда будет иметь две компоненты связности, одна из которых сильный



$$\Pi_8' = r_2 \Pi_8$$

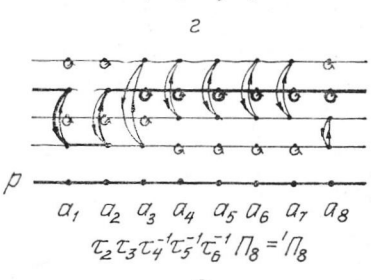
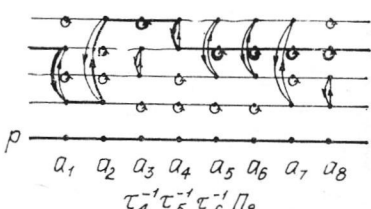
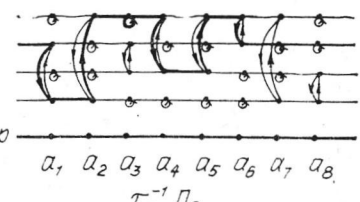


Рис. 2

контур — первый или l_1 -й. Последнее утверждение следует из свойства связности профиля Π_q и принадлежности его классу $D_p(t, 1)$ — в профиле Π_q сильные контуры связаны слабыми дугами попарно. Поэтому псевдопрофиль G_{q-2} может перестать быть связным только за счет выделения сильных контуров первого или l_1 -го в качестве одной из компонент связности псевдопрофиля G_{q-2} .

В случае, когда псевдопрофиль G_{q-2} связан, его замыкание \bar{G}_{q-2} будет профилем, ибо $S(G_{q-2}) = E$. Тогда, повторяя преды-

дущие рассуждения, получим профиль, у которого первые четыре атомарные псевдопрофили удовлетворяют условиям 1° и 2° .

Рассмотрим теперь случай, когда псевдопрофиль G_{q-2} не связан:

а) пусть одна из компонент связности псевдопрофиля G_{q-2} — l_1 -й сильный контур. Вторая компонента связности — псевдопрофиль толщины $t - 1$, замыкание которого будет уже профилем. Поскольку первый сильный контур этого профиля — часть 1-го сильного контура профиля Π_q , то, применяя к полученному профилю лемму (а тем самым преобразования, используемые в лемме, применяются и к исходному профилю Π_q не задавая первых двух атомарных псевдопрофилей), получим профиль, у которого первые четыре атомарных псевдопрофили удовлетворяют условиям 1° и 2° ;

б) пусть одна из компонент связности псевдопрофиля G_{q-2} — 1-й сильный контур. Тогда замыкание второй компоненты связности (профиль толщины $t - 1$) содержит атомарный псевдопрофиль с подстановкой (l_1, l_2) , $1 < l_1 < l_2 \leq t$. Воспользовавшись леммой*, получаем профиль, у которого первых два атомарных псевдопрофили удовлетворяют условиям 1° и 2° , а два следующих имеют подстановку (l_1, l_2) .

Рассмотрим преобразование $\tau_2^{-1}(\tau_3^{-1})^2\tau_2^{-1}$. В силу того что первых два атомарных псевдопрофили и вторых два имеют вершины, принадлежащие одному и тому же сильному контуру, указанная комбинация обменов приводит к профилю, первых четырех атомарных псевдопрофилия которого удовлетворяют условиям 1° и 2° .

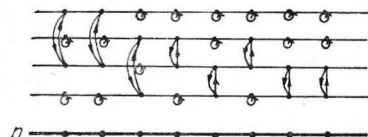
Описанный процесс продолжаем до исчерпания всех атомарных псевдопрофилей профиля Π_q . Однако следует сделать одно замечание. Может оказаться, что при выделении псевдопрофиля G_{q-2m} слабые дуги $2m - 1$ -го и $2m$ -го атомарных псевдопрофилей и слабые дуги последующих атомарных псевдопрофилей инцидентны вершинам, принадлежащим различным сильным контурам, (см. рис. 3, 2) в силу чего описанный процесс непосредственно провести нельзя. Однако среди построенных атомарных псевдопрофилей, удовлетворяющих условиям 1° и 2° , найдется, по крайней мере, одна пара атомарных псевдопрофилей, слабые дуги которых инцидентны вершинам, принадлежащим тому же сильному контуру, что и дуги одного из атомарных псевдопрофилей псевдопрофиля G_{q-2m} . Не уменьшая общности, можно считать, что этим атомарным псевдопрофилем является псевдопрофиль G_1^{2m+1} .

Укажем преобразование, меняющее местами пары атомарных псевдопрофилей, удовлетворяющих условиям 1° и 2° , и не меняющее подстановки этих атомарных псевдопрофилей.

* В этом случае применяем движение r_{l_1} лишь до второго атомарного псевдопрофиля G_1^2 .

Пусть атомарные псевдопрофили G_1^{2k-1} , G_1^{2k} , G_1^{2k+1} и G_1^{2k+2} профиля Π удовлетворяют условиям 1° и 2°. Нетрудно убедиться, что искомым преобразованием будет, например, следующее произведение преобразований группы $\langle \tau \rangle - \tau_{2k} \tau_{2k-1} \tau_{2k+1} \tau_{2k}$.

Таким образом, совершив необходимые перестановки пар атомарных псевдопрофилей, удовлетворяющих условиям 1° и 2°, при-

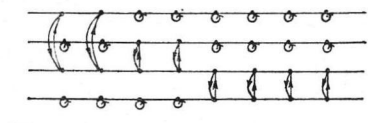


P

$a_1 \ a_2 \ a_3 \ a_4 \ a_5 \ a_6 \ a_7 \ a_8$

Π_8

a

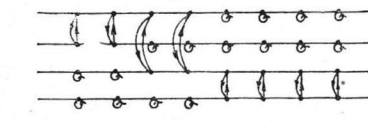


P

$a_1 \ a_2 \ a_3 \ a_4 \ a_5 \ a_6 \ a_7 \ a_8$

$\tau_4^{-1} \tau_5^{-1} \tau_3^{-1} \Pi_8$

b

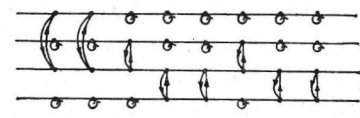


P

$a_1 \ a_2 \ a_3 \ a_4 \ a_5 \ a_6 \ a_7 \ a_8$

$\tau_2 \tau_1 \tau_3 \tau_2 \tau_2^{-1} \tau_3^{-2} \tau_2^{-1} \epsilon_4^{-1} \tau_5^{-1} \tau_3 \Pi_8$

d

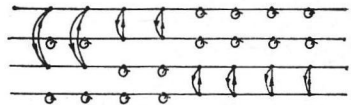


P

$a_1 \ a_2 \ a_3 \ a_4 \ a_5 \ a_6 \ a_7 \ a_8$

$\tau_3 \Pi_8$

b

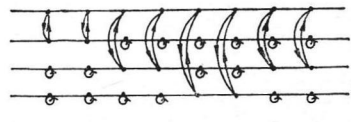


P

$a_1 \ a_2 \ a_3 \ a_4 \ a_5 \ a_6 \ a_7 \ a_8$

$\tau_2^{-1} \tau_3^{-2} \tau_2^{-1} \tau_4^{-1} \tau_5^{-1} \tau_3 \Pi_8$

c



P

$a_1 \ a_2 \ a_3 \ a_4 \ a_5 \ a_6 \ a_7 \ a_8$

$\tau_6^{-1} \tau_7^{-2} \tau_6^{-1} \tau_4^{-1} \tau_5^{-2} \tau_4^{-1} \tau_2 \tau_1 \tau_3^{-1} \tau_2^{-1} \tau_4^{-1} \tau_5^{-1} \tau_3 \Pi_8$

e

Рис. 3

ходим к псевдопрофилю, к которому применима лемма. Итак, получен псевдопрофиль ${}^1\Pi_q$, атомарные псевдопрофили которого удовлетворяют условиям 1° и 2°.

На рис. 3 приведен пример преобразования профиля к виду ${}^1\Pi_q$. Не уменьшая общности, можно считать, что в профиле ${}^1\Pi_q$, атомарные псевдопрофили располагаются в таком порядке, что вторые индексы транспозиций, являющихся подстановками атомарных псевдопрофилей, образуют неубывающую последовательность, как на рис. 4, *a*.

2. Зафиксируем профиль ${}^N\Pi_q = \text{clos} \sum_{i=1}^7 {}^NG_1^i$, принадлежащий классу $D_p(t, 1)$, атомарные псевдопрофили которого удовлетворяют условиям $S({}^NG_1^i) = S({}^NG_1^{q-i}) = (i, i+1), i = 1, 2, \dots, t-2; S({}^NG_1^i) = (t-1, t), i = t-1, t, \dots, t+2_p$.

Профиль ${}^N\Pi_q$ будем называть нормальной формой профилей класса $D_p(t, 1)$. Пример нормальной формы см. на рис. 4, г.

Покажем, что любой профиль $\Pi_q \in D_p(t, 1)$ преобразованиями из группы $\langle \tau \rangle$ может быть приведен к нормальной форме ${}^N\Pi_q$.

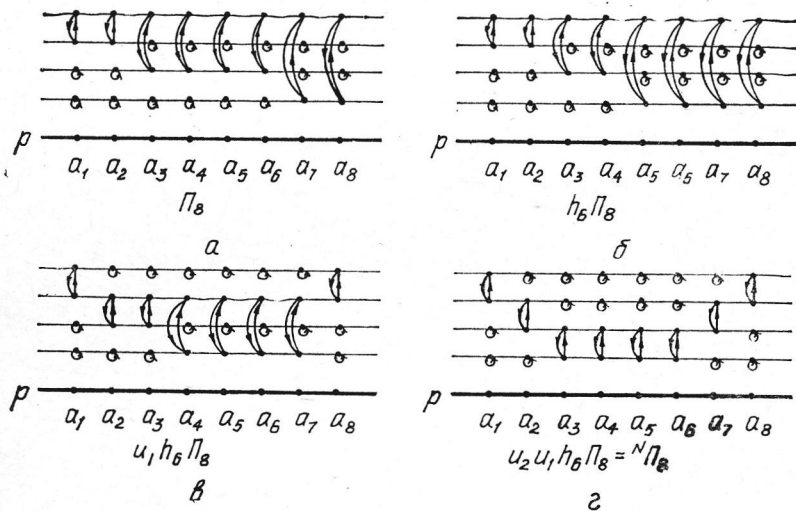


Рис. 4

Очевидно, нам достаточно показать, что этими преобразованиями к нормальной форме сводится профиль, слабые контуры которого уже удовлетворяют условиям 1° и 2° .

Рассмотрим преобразование $h_{2k} = \tau_{2k-2}\tau_{2k-1}^{-1}\tau_{2k-2}\tau_{2k}^{-1}\tau_{2k-1}\tau_{2k}^{-1}$. Если профиль Π_q таков, что его атомарные псевдопрофили ${}^1G_1^{2k-3}, {}^1G_1^{2k-2}, {}^1G_1^{2k-1}, {}^1G_1^{2k}, {}^1G_1^{2k+1}, {}^1G_1^{2k+2}$ имеют подстановки $S({}^1G_1^{2k-3}) = S({}^1G_1^{2k-2}) = S({}^1G_1^{2k-1}) = S({}^1G_1^{2k}) = (1, l), S({}^1G_1^{2k+1}) = S({}^1G_1^{2k+2}) = (1, l+1)$,

то у профиля $h_{2k} \Pi_q$ подстановки атомарных псевдопрофилей, соответствующих его базисным точкам a_{2k-3}, a_{2k-2} , — транспозиции $(1, l)$, а подстановки атомарных псевдопрофилей, соответствующих базисным точкам $a_{2k-1}, a_{2k}, a_{2k+1}, a_{2k+2}$, — транспозиции $(1, l+1)$. (На рис. 4 приведен пример преобразования h_6). Применяя к профилю Π_q необходимые преобразования вида h_{2k} ,

приходим к профилю ${}^2\Pi_q = \sum_{i=1}^q {}^2G_i^t$, у которого подстановки первых $t - 1$ -ой пары атомарных псевдопрофилей имеют вид $S({}^2G_{2k-1}) = S({}^2G_{2k}) = (1, k+1)$, $k = 1, 2, \dots, t-1$, а остальные 2_p атомарных псевдопрофиля профиля ${}^2\Pi_q$ в качестве подстановок имеют транспозиции $(1, t)^*$.

Рассмотрим преобразование $u_1 = \prod_{i=2}^{q-1} \tau_i$. В результате такого преобразования получим профиль $u_1 {}^2\Pi_q$, первый и последний псевдопрофили которого имеют подстановку $(1, 2)$, и все остальные псевдопрофили в качестве первого символа транспозиции будут иметь цифру 2 .

Преобразование $u_2 = \prod_{i=3}^{q-2} \tau_i$, примененное к профилю $u_1 {}^2\Pi_q$, приведет нас к профилю $u_2 u_1 {}^2\Pi_q$, у которого первых два и последних два атомарных псевдопрофиля такие, как и у ${}^N\Pi_q$, а все остальные в качестве первого символа транспозиции имеют цифру 3 .

Очевидно, что профиль $(\prod_{j=1}^{t-2} u_j) {}^2\Pi_q$, где $u_j = \prod_{i=1+j}^{q-j} \tau_i$, есть иско-
мая нормальная форма ${}^N\Pi_q$ профилей класса $D_p(t, 1)$.

Теорема Д доказана.

Замечания. Из доказанной теоремы следует, что группа автоморфизмов $\text{Aut } D_p(t, 1)$ совпадает с группой $\langle \tau \rangle$, т. е. любых двух профилей $\Pi', \Pi'' \in D_p(t, 1)$ могут быть приведены друг к другу некоторой суперпозицией обменов.

2. В § 2 мы доказали, что группа автоморфизмов $\text{Aut } F_R$ есть произведение двух групп — $\langle \tau \rangle$ и A_S .

Когда $F_R \in D_p(t, 1)$ — группа $A_S \in \langle \tau \rangle$, что в общем случае не так (см. пример 2.1).

4. Алгоритм построения класса профилей заданной разветвленности. Отмечалось, что профили класса профилей заданной разветвленности $F_p(t) = F_p(t; a_1, \lambda_1^1, \dots, \lambda_1^{m_1}; a_q, \lambda_q^1, \dots, \lambda_q^{m_q})$ могут изображать различные римановы поверхности класса F_q^* . Напомним, что профили класса $F_p(t; a_1, \lambda_1^1, \dots, \lambda_1^{m_1}; \dots; a_q, \lambda_q^1, \dots, \lambda_q^{m_q})$, изображающие одну и ту же риманову поверхность R , $R \in F_q^*$, называем эквивалентными, а все множество профилей, описывающих эту риманову поверхность, — классом эквивалентности профилей римановой поверхности R , обозначая его через F_R .

В настоящем параграфе строим алгоритм, позволяющий класс профилей заданной разветвленности $F_p(t; a_1, \lambda_1^1, \dots, \lambda_1^{m_1}; \dots;$

* Отметим, что в случае, когда $\Pi_q \in D_p(t)$, профиль ${}^2\Pi_q$ содержит только первые $2t - 2$ атомарные псевдопрофили.

$a_q, \lambda_q^1, \dots, \lambda_q^{m_q}$) представить как объединение классов эквивалентности профилей. Тем самым не только описываем все многообразие профилей заданной разветвленности, но и все различные римановы поверхности класса F_q^* , имеющие заданную разветвленность.

Предварительно выясним, что собой представляет автоморфизмы группы $\text{Aut } F_\rho(t)$.

Пусть $\Pi_q = \text{clos} \sum_{i=1}^q G_1^i$, $\Pi_q \in F_q(t; q_1, \lambda_1^1, \dots, \lambda_1^{m_1}; \dots; a_q, \lambda_q^1, \dots, \lambda_q^{m_q})$. Согласно теореме § 1 профиль можно единственным образом представить в виде суммы произведений h -транспозиционных псевдопрофилей, т. е.

$$\Pi_q = \text{clos} \sum_{i=1}^q \prod_{k=1}^{\Lambda_i} G_1^i(k), \text{ где } \Lambda_i = \sum_{j=1}^{m_i} \lambda_i^j, \text{ а } G_1^i(k), k = 1, \dots, \Lambda_i,$$

h -транспозиционные псевдопрофили, определенные соответственно соглашениям, принятым в § 1 и обеспечивающие однозначное представление атомарного псевдопрофиля G_1^i в виде произведения транспозиционных псевдопрофилей. Отсюда следует, что профилю Π_q можно поставить в однозначное соответствие профиль

$\text{clos} \sum_{i=1}^q \sum_{k=1}^{\Lambda_i} G_1^i(k)$, принадлежащий, очевидно, классу $D_\rho(t, 1)$. Это соответствие определяет биективное отображение класса профилей заданной разветвленности $F_\rho(t)$ в класс $D_\rho(t, 1)$. Обозначим это

отображение через d , профиль $\text{clos} \sum_{i=1}^q \sum_{k=1}^{\Lambda_i} G_1^i(k)$ — через $d\Pi$, а образ множества профилей из класса $F_\rho(t)$ при отображении d — через $\{D_\rho(t, 1)\}_F$.

Введем отображение φ_F и установим его связь с вышеопределенным отображением d .

Пусть профиль $\Pi \in D_\rho(t, 1)$ и $\Pi = \text{clos} \sum_{i=1}^{2t-2+2\rho} G_1^i$, а $F_\rho(t) = F_\rho(t; a_1, \lambda_1^1, \dots, \lambda_1^{m_1}; \dots; a_q, \lambda_q^1, \dots, \lambda_q^{m_q})$ — класс профилей заданной разветвленности. Обозначим через ψ_F отображение, ставящее в соответствие профилю Π замыкание псевдопрофиля

$$G_q = \varphi \left(\sum_{i=1}^{\Lambda_1} G_1^i \right) + \varphi \left(\sum_{i=\Lambda_1+1}^{\Lambda_1+\Lambda_2} G_1^i \right) + \dots + \varphi \left(\sum_{i=\Lambda_1+\dots+\Lambda_{q-1}}^{\Lambda_1+\dots+\Lambda_q} G_1^i \right),$$

где $\Lambda_i = \sum_{j=1}^{m_i} \lambda_i^j$; $\{\bar{G}_q\}_F$ — множество замыканий образов профилей из класса $D_\rho(t)$ при отображении φ_F , а отображение φ определено в § 1.

Из определения операций d и φ_F следует, что операция d^{-1} есть не что иное, как сужение отображения φ_F на множество $\{D_\rho(t, 1)\}_F$.

Если профили $\Pi', \Pi'' \in F_\rho(t)$, то, согласно определению операции d , профили $d\Pi', d\Pi'' \in \{D_\rho(t, 1)\}_F$ и в силу теоремы Д имеем $d\Pi' = f(\tau) d\Pi''$, где $f(\tau)$ — некоторая комбинация преобразований группы $\langle \tau \rangle$. Отсюда $\Pi' = d^{-1}f(\tau) d\Pi''$, т. е. любой автоморфизм группы $\text{Aut } F_\rho(t)$ есть не что иное, как отображение вида $d^{-1}f(\tau)d$.

Имеет место следующая

Теорема. Класс профилей $F_\rho(t)$ заданной разветвленности содержится во множестве замкнутых псевдопрофилей $\{\bar{G}_q\}_F$.

Доказательство. В случае, когда класс $F_\rho(t)$ пуст, утверждение теоремы тривиально. Пусть класс $F_\rho(t)$ непуст. Зафик-

сируем профиль $\Pi_q = \text{clos} \sum_{i=1}^q G_1^i$ из класса $F_\rho(t)$. Атомарные псевдопрофили $G_1^i, i = 1, \dots, q$, представим в виде произведения Λ_i ,

$\Lambda_i = \sum_{j=1}^{m_i} \lambda_i^j$, транспозиционных псевдопрофилей $G_1^i(k), k = 1, \dots$

\dots, Λ_i . Рассмотрим псевдопрофиль $\text{clos} \sum_{i=1}^q \sum_{k=1}^{\Lambda_i} G_1^i(k)$. Нетрудно видеть, что замыкание этого псевдопрофиля есть профиль из класса $D_\rho(t, 1)$ и, следовательно,

$$\varphi_F \left(\sum_{i=1}^q \sum_{k=1}^{\Lambda_i} G_1^i(k) \right) \in \{\bar{G}_q\}_F,$$

заметив, что, с другой стороны, $\varphi_F \left(\sum_{i=1}^q \sum_{k=1}^{\Lambda_i} G_1^i(k) \right) = \Pi_q$, получаем утверждение теоремы $F_\rho(t) \subset \{\bar{G}_q\}_F$.

Доказанная теорема позволяет построить алгоритм, решающий задачу об описании всего многообразия профилей заданной разветвленности, т. е. многообразий профилей класса $F_\rho(t; a_1, \lambda_1^1; \dots, \lambda_1^{m_1}; \dots; a_q, \lambda_q^1, \dots, \lambda_q^{m_q})$.

Алгоритм I описания многообразия профилей класса $F_\rho(t; a_1, \lambda_1^1, \dots, \lambda_1^{m_1}; \dots; a_q, \lambda_q^1, \dots, \lambda_q^{m_q})$.

1°. Строим профиль ${}^N\Pi$ — нормальную форму профилей класса $D_\rho(t, 1)$. Построим весь класс $D_\rho(t, 1)$, который согласно теореме Д есть множество $\{\tau {}^N\Pi\}_{\tau \in \langle \tau \rangle}$.

2°. Построим множество замкнутых псевдопрофилей

$$\{\varphi_F(\tau {}^N\Pi)\}_{\tau \in \langle \tau \rangle} = \{\bar{G}_q\}_F.$$

Согласно доказанной выше теореме имеем $F_\rho(t) \subset \{\varphi_F(\tau {}^N\Pi)\}$.

Каждый замкнутый псевдопрофиль множества $\{\bar{G}_q\}_F$ непосредственно проверим на принадлежность классу $F_\rho(t)$, чем и определим весь класс $F_\rho(t)$.

Алгоритм II разбиения класса профилей заданной разветвленности $F_\rho(t; a_1, \lambda_1^1, \dots, \lambda_1^{m_1}; \dots; a_q, \lambda_q^1, \dots, \lambda_q^{m_q})$ на классы эквивалентности.

1°. Используя алгоритм I, строим все профили класса $F_\rho(t; a_1, \lambda_1^1; \dots; \lambda_1^{m_1}; \dots; a_q, \lambda_q^1, \dots, \lambda_q^{m_q})$.

2°. Рассмотрим профиль

$$\Pi_q \in F_\rho(t; a_1, \lambda_1^1, \dots, \lambda_1^{m_1}; \dots; a_q, \lambda_q^1, \dots, \lambda_q^{m_q}).$$

Построим множество $\Theta_\Pi = \{f(\tau) \rho \Pi : f(\tau) \in \langle \tau \rangle, \rho \in A_s\}$, являющееся, очевидно, классом эквивалентности профилей римановой поверхности $R \in F_q^*$, один из профилей которой есть профиль Π .

3°. Рассмотрим профиль $\Pi' \in F_\rho(t) \setminus \Theta_\Pi$. Так же, как и в пункте 2°, строим множество $\Theta_{\Pi'}$.

4°. Описанный в п. 2°, 3° процесс продолжаем до исчерпания профилей класса $F_\rho(t)$.

Список литературы: 1. Гольберг А. А., Островский И. В. Распределение значений мероморфных функций.—М.: Наука, 1970.—592 с.

2. Таирова В. Г. О комплексах отрезков некоторого класса замкнутых римановых поверхностей.—Сиб. мат. журн., 1964, 5, № 4, с. 929—951.

3. Drape E. Über die Darstellung Riemannscher Flächen durch Streckenkomplexe.—Deutsche Math., 1936, № 1, S. 805—824. 4. Habsch H. Die Theorie der Grundkurven und das Äquivalenzproblem bei der Darstellung Riemannscher Flächen.—Mitt Math. Semin Giessen, 1952, № 2, S. 1—51.

5. Бронза С. Д., Таирова В. Г. Профили римановых поверхностей.—Теория функций, функциональный анализ и их прил., 1980, вып. 33, с. 12—18.

Поступила в редакцию 06.09.82.